303

静水圧依存性高分子材料の塑性構成式による V曲げと据込みシミュレーション

玉川大学 〇佐野村 幸夫 静岡大学 早川 邦夫

1 緒 言

熱可塑性高分子材料は、日用品だけでなく工業部品および構造材料として、広範囲に使用されている。例えば、自動車のバンパーは、耐衝撃用ポリプロピレン PP が採用されている。この部品に対して耐熱性評価が行われており、有限要素法による熱変形解析が実施されている。この解析では、クリープ曲線が引張りと圧縮で異なることを考慮している。このことは、クリープ変形の静水圧依存性を意味する。一方、弾塑性解析では通常の Mises 型の降伏条件と連合流れ則を用いている。また、破壊靱性と耐衝撃性を向上したゴム強化 PMMA の切欠き先端の変形が、Mises 型の降伏条件と連合流れ則を用いた FEM 解析がなされており、実験との比較的良い一致が得られている。2.

しかし、高分子材料の塑性変形は、著しい静水圧依存性が 実験的に確認されており、弾塑性解析の精度向上には、静水 圧依存性を適切に表現する弾塑性構成式を開発する必要があ る.このため、前報では静水圧依存性高分子材料の塑性構成 式を定式化した³⁾⁴⁾.この構成式の妥当性を検討するためには、 汎用有限要素法に組込んで、構造解析をする必要がある.

本研究では、静水圧依存性高分子材料の塑性構成式(等方硬化理論)を概説するとともに、この構成式を MSC.Marc に組込み曲げ解析と据込み解析した結果を報告する.

- 2 静水圧依存性高分子材料の塑性構成式 (等方硬化理論)
- **2.1 理論の概要** 本論文では、静水圧依存性のある降伏面として、次式を用いる.

$$f = (1 - \beta)\sqrt{J_2} + \beta I_1 - \kappa = 0$$

$$I_1 = \sigma_{kk}, \ J_2 = \frac{1}{2} s_{ij} s_{ij}$$
(1)

ここで、 I_1 および I_2 はそれぞれ応力の第1 不変量および 偏差応力の第2 不変量を表す。また、 κ は等方硬化変数であり、塑性ひずみの関数である。さらに、 β は材料の静水 圧依存性の程度を表す材料定数である。この値が $\beta=0$ のとき、静水圧依存性はなくなり、式(1)は Mises 型の降伏面に帰着する。

高分子材料の塑性変形後の体積変化は小さいので、塑性変形における非圧縮性を仮定する. そこで、塑性ポテンシャルgを次のように仮定する.

$$g = \sqrt{3J_2} \tag{2}$$

非連合流れ則を用いて, 塑性ひずみ速度を

$$\dot{\varepsilon}_{ij}^{p} = \lambda \frac{\partial g}{\partial \sigma_{ii}} \tag{3}$$

で記述する. ここで、 λ は Prager の適応の条件で求められる 正値の未定定数である.

$$\dot{\varepsilon}_{ij}^{p} = \frac{3}{2H} \left[\frac{3}{2} (1 - \beta) \frac{s_{kl}}{\sqrt{3J_2}} + \beta \delta_{kl} \right] \dot{\sigma}_{kl} \frac{s_{ij}}{\sqrt{3J_2}}
H = \frac{d\kappa}{d\varepsilon^{p}} , \quad \varepsilon^{p} = \int \left(\frac{2}{3} \dot{\varepsilon}_{ij}^{p} \dot{\varepsilon}_{ij}^{p} \right)^{1/2} dt$$
(4)

等方硬化変数 κ は、PPの塑性変形挙動を適切に記述できるように、次式のような Swift の式を採用する.

$$\kappa = F\left(b + \overline{\varepsilon^p}\right)^n \tag{5}$$

ここでF, b, n は, 材料定数である.

2.2 MSC. Marc への組込み 前節で定式化した構成式を MSC.Marc に組み込む. このため、応力速度 $\dot{\sigma}_{ij}$ と全ひずみ速度 $\dot{\epsilon}_{ij}$ の関係を次式のように書き下す.

$$\dot{\sigma}_{ij} = C_{ijkl}^{ep} \dot{\varepsilon}_{kl}$$

$$C_{ijkl}^{ep} = C_{ijkl}^{e} - \alpha \frac{3}{2\sqrt{3J_2}} \frac{C_{ijpq}^{e} s_{pq} \left\{ \frac{3}{2} (1-\beta) s_{mn} C_{mnkl}^{e} + \beta \sqrt{3J_2} \delta_{mn} C_{mnkl}^{e} \right\}}{\sqrt{3J_2} H + (1-\beta) \frac{9}{4\sqrt{3J_2}} C_{ijkl}^{e} s_{ij} s_{kl}}$$

$$\alpha = \begin{cases} 1 & f = 0 \text{ and } \frac{\partial g}{\partial \sigma_{ij}} \dot{\sigma}_{ij} \ge 0 \text{ loading} \\ \\ 0 & f = 0 \text{ or } \frac{\partial g}{\partial \sigma_{ii}} \dot{\sigma}_{ij} < 0 \text{ unloading} \end{cases}$$

ここで C_{ijkl}^e は、弾性係数テンソルを表す、軸対称問題と平面 ひずみ問題では

$$C_{ijkl}^{e} = \frac{2\nu G}{1 - 2\nu} \delta_{ij} \delta_{kl} + G \left(\delta_{ik} \delta_{jl} + \delta_{il} \delta_{jk} \right)$$
 (7)

となり、平面応力問題では

$$C_{1111}^{e} = C_{2222}^{e} = \frac{2G}{1 - \nu}, C_{1122}^{e} = C_{2211}^{e} = \frac{2G\nu}{1 - \nu}$$

$$C_{1212}^{e} = G, \text{ other } C_{ijkl}^{e} = 0$$
(8)

となる。ここでGと ν は、それぞれ横弾性係数およびポアソン比である。塑性構成式に非連合流れ則を仮定したために、弾塑性接線係数テンソル C_{ikl}^{ep} およびこれから計算される接線係数マトリックスは、非対称になることに注意する必要がある。

3 曲げと据込みの有限要素シミュレーション

3.1 曲げ ここでは、上述の塑性構成式の妥当性と限界を検討するために、まずポリプロピレンの 90°V 曲げ加工を解析する. Figure 1 のようなパンチ先端 R_p =9mm、ダイ肩幅 L=70mm の金型を用いた. 板の寸法は、板厚 t=6mm、板幅 b=15mm および長さ l=95mm である. 対称性により曲げ加工の右半分のみを解析する. パンチとダイは、剛体要素を使用した. 一方、板は updated Lagrange 法による大変形に適用できる 4次

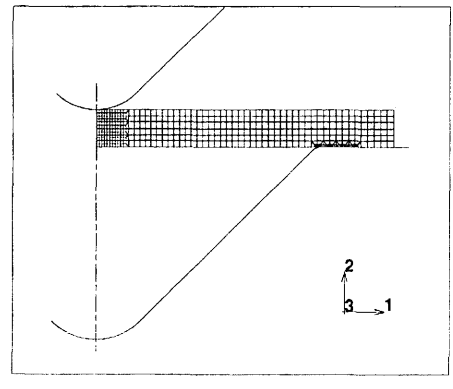


Figure 1 Discretized model of V-bend forming.

のアイソパラメトリック要素を用いた. パンチと板およびダイと板には、クーロン摩擦を仮定したスライドラインを定義した. ここでは、摩擦係数を μ =0とした. 板の材料定数は、次の値を用いた.

G = 724MPa,
$$\nu = 0.36$$

F = 67.2MPa, $b = 6.53 \times 10^{-4}$, $n = 0.217$
 $\beta = 0.0 \text{ or } 0.17$

ここでは、平面応力と平面ひずみで解析じた. ただし、bt=2.5なので、平面応力解析がより良い近似となると考えられる 5 .

Figure 2 は、パンチストロークS=1.5mm における円周方向の塑性ひずみ分布を示す。FEM 解析は、平面ひずみで実施した。板の底面から引張り塑性ひずみを生じて、曲げ加工が進行していく様子が伺える。

Figure 3 は、曲げ加工における全ひずみ分布の変化を示す.

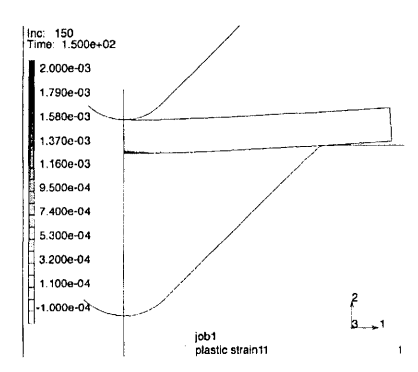


Figure 2 Distribution of plastic bending strain \mathcal{E}_{11}^p at punch

stroke of S = 1.5mm

いずれの β の値でもSが小さいときには、曲げ変形が弾性変形で生じるために、中立面が板の中心と一致する.一方、Sの増大に伴って、板の曲げが塑性変形で進行するために、中立面の位置が中心から外れる. β =0の場合には、 β =0.17と比べて大きなひずみを予測することになる.

3.2 据込み つづいてポリプロピレンの据込み解析を行った. 円柱の寸法は, 直径 d=15mm および高さ h=10mm である. 軸対称問題として解析し, 端面の摩擦係数を $\mu=0.2$ とした. Figure 4 のように, 円柱は剛体要素に挟まれて, x 方向に据込み解析が実施される.

Figure 5 は、据込み時の荷重-ストローク曲線を示す.静水 圧依存性によって、 β =0.17 の場合は β =0 と比べて大きな荷 重を予測する.

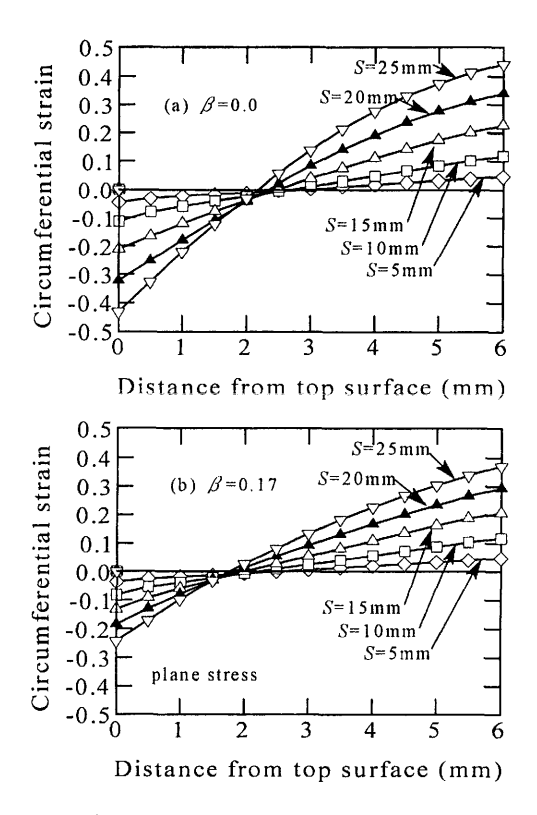


Figure 3 Circumferential strain distributions at various stroke.

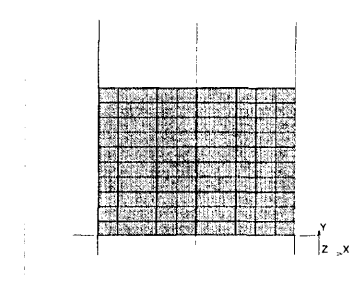


Figure 4 Discretazed model for axisymmetric upsetting of polymer materials

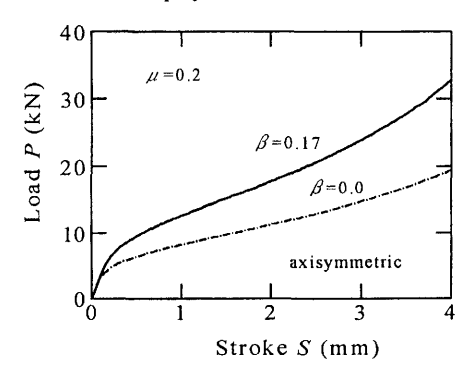


Figure 5 Load – stroke curves under upsetting.

参考文献

- 1) 高原忠良, 杉本好央, 成形加工, 15, 208 (2003).
- M. Todo, K. Arakawa and K. Takahashi, Key Engineering, 183-187, 409(2000).
- 3) 佐野村幸夫, 材料, 50, 968(2001).
- 4) 佐野村幸夫, 早川邦夫, 材料, 53, 143(2004).
- 5) 風間宏一, 永井康友, 塑性と加工, 45, 40(2004).